

## 岸冲海浜変形予測モデルと実規模データによる適用性の検討

清水隆夫\*・丸山康樹\*\*

## 1. まえがき

一般に、海浜変形は波浪を主因とする岸沖方向砂移動と流れ（海浜流）を主因とする沿岸方向砂移動によって生じる。著者らは波浪による砂移動とそれによって生じる海浜変形の解明とその予測手法の確立を目的として、大型造波水路<sup>1)</sup>による岸沖海浜変形実験を行ない<sup>2), 3), 4)</sup>、縮尺効果の少ない実規模データに基づいて岸沖海浜変形モデルの開発を進めて来た<sup>5), 6)</sup>。このうち、前々報<sup>5)</sup>では実規模海浜変形における岸沖漂砂量分布形をモデル化し、岸沖漂砂量算定式を提案した。さらに、前報<sup>6)</sup>では地形変化と波浪変形との相互作用を明らかにするとともに、地形の時間的变化に追従することのできる波浪計算モデルの提案と検証を行った。本論文ではこの波浪計算モデルと実規模岸沖漂砂量算定式を用いて岸沖海浜変形予測モデルを構築し、大型造波水路の実験データによってその適用性を検討した。

## 2. 波浪計算法の概要

まず、前報<sup>6)</sup>で提案した波浪計算法を概説しておく。波の浅水変形と碎波変形を計算する基礎式として次の非定常緩勾配方程式<sup>7), 8)</sup>を採用した。

$$\left. \begin{aligned} \frac{\partial Q_x}{\partial t} + C^2 \frac{\partial \zeta}{\partial x} + f_D Q_x &= 0 \\ \frac{\partial \zeta}{\partial x} + \frac{1}{n} \frac{\partial}{\partial x} (n Q_x) &= 0 \end{aligned} \right\} \dots \quad (1)$$

ここに,  $x$  は沖から岸向きにとった座標,  $t$  は時間,  $\zeta$  は水面変位,  $Q_x$  は線流量,  $C$  は波速であり,  $n = C_g/C$  で,  $C_g$  は群速度である. また,  $f_D$  は碎波減衰項で, 碎波前は  $f_D=0$  とした.

平均水位  $\bar{h}$  の基礎式としては次式を用いた。

$$\frac{\partial \bar{\zeta}}{\partial x} = -\frac{1}{\rho g(h+\bar{\zeta})} \frac{\partial S_{xx}}{\partial x} \quad \dots \dots \dots (2)$$

ここに、 $\rho$  は流体密度、 $g$  は重力加速度、 $h$  は水深、 $S_{xx}$  は radiation stress である。 $S_{xx}$  には重複波を考慮した表

示式<sup>7)</sup>を用いた。

碎波点の位置は、波峰下静水位流速  $u_{\text{co}}$  とみかけの波速  $C'$  との比を次式で求め、その値が渡辺<sup>9)</sup>の限界値  $B_{\text{cr}}$  と一致する点として決定した。

ここに,  $k$ : 波数,  $\sigma$ : 角周波数で,  $\zeta$ ,  $u_0$  等は線流量と水面変位を次式のように表わした場合に定義される変数である.

$$\left. \begin{aligned} Q_x &= \hat{Q}_x \sin(\sigma t + \varepsilon_x) = u_c \sin \sigma t + u_s \cos \sigma t \\ r &= \hat{r} \sin(\sigma t + \varepsilon_r) = r_c \sin \sigma t + r_s \cos \sigma t \end{aligned} \right\} \quad \dots(4)$$

破波後の波浪計算では、 $f_D$  を次式で評価した。

$$f_D = \alpha_D S_D \sqrt{g/d} (\hat{Q}_x/Q_r - 1)^{1/2} \quad \dots \dots \dots \quad (5)$$

おまけ  $\hat{Q}/\Omega > 1$  のとき  $f = 0$

ここに、 $d = h + \zeta$ ,  $\gamma_{ab} = a_b/h_b$  で  $h_b$  と  $a_b$  は碎波点における水深と振幅,  $\epsilon$  は再生係数 ( $\epsilon=0.5$ ),  $S_D$  は斜面係数 (碎波点とその沖側約 10 m 地点間の平均海底勾配),  $\alpha_n$  は減衰係数であって、 $\alpha_n$  は次式で求めた。

$$\left. \begin{array}{l} S_D \leq 1/50 \text{ のとき, } \alpha_D = 5.0 \\ 1/50 < S_D \leq 1/20 \text{ のとき, } \alpha_D = 5.0 - 250/3(S_D - 1/50) \\ 1/20 < S_D \leq 1/5 \text{ のとき, } \alpha_D = 2.5 - 10/3(S_D - 1/20) \\ 1/5 < S_D \text{ のとき, } \alpha_D = 2.0 \end{array} \right\} \quad \dots \dots \dots (7)$$

### 3. 地形計算の基礎式

地形変化計算の基礎式は漂砂量算定式と砂の連続式である。このうち漂砂量算定式については、大型造波水路実験に基づいて提案した<sup>5)</sup>次式を用いた。

(i) 砂の移動が崖向の場合:

(ii) 砂の移動が油向の場合は

$$\Phi = -A_m A_x (\Psi_m - \Psi_{m0}) \Psi^{1/2} \quad \dots \dots \dots \quad (9)$$

二二

ここに,  $\Phi$  は無次元漂砂量,  $\Psi_m$  は波による無次元底面剪断応力の振幅(以下シールズ数と呼ぶ),  $\Psi_{mo}$  は砂がネットの移動を始めるときの限界シールズ数,  $A_w$  と  $A_f$  はそれぞれ底質粒径と海底勾配で決まる係数である.  $\Phi$

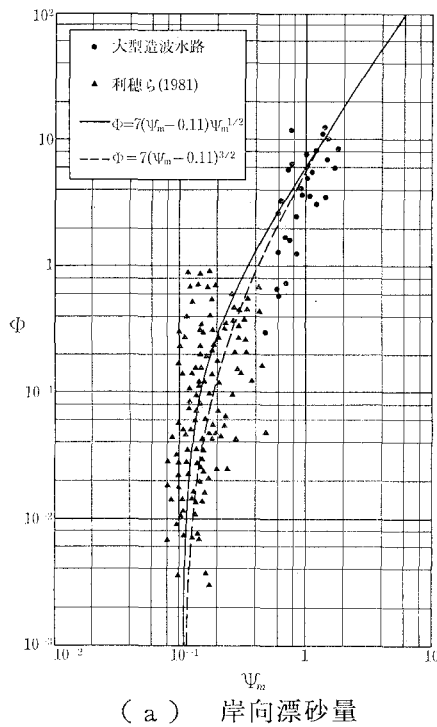
\* 正会員 工修 電力中央研究所 我孫子研究所 水理部 環境水理研究室

\*\* 正会員 工博 電力中央研究所 我孫子研究所 水理部 環境水理研究室

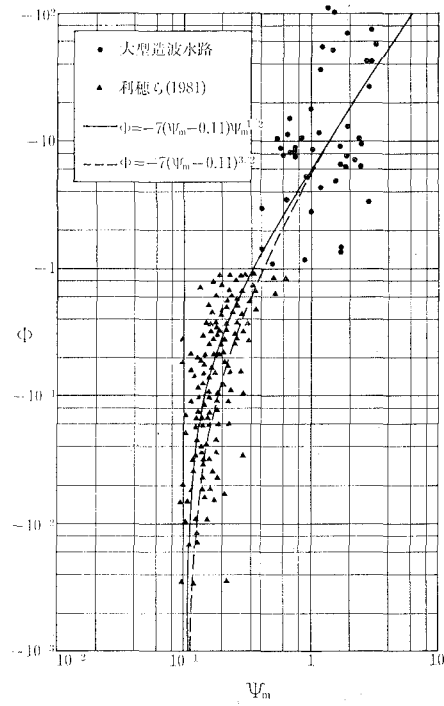


るが、漂砂量算定式を用いて地形変化を計算する場合に  
は両者の整合を計る必要がある。

地形変化の限界水深は波による砂の移動限界水深と同



(a) 岸向漂砂量



(b) 沖向漂砂量

図-2 漂砂量算定式の改良

様に次式で評価される<sup>3)</sup>。

$$\frac{H_0}{L_0} = \alpha \left( \frac{D_{50}}{L_0} \right)^n \sinh kh_0 \frac{H_0}{H} \quad \dots \dots \dots (23)$$

ここで、 $H_0$  と  $L_0$  は沖波の波高と波長、 $k$  と  $H$  は水深  $h_0$  における波数と波高、 $\alpha$  と  $n$  は無次元の定数である。この  $h_0$  と  $\Psi_{mc}$  の関係を調べるために、上式を変形し、 $h_0$  に相当するシールズ数を求めてみた。

まず、底面流速振幅  $a$  は单一進行波を仮定し、かつ上式の波高  $H$  を代入すると、

$$a = \frac{\pi H}{T \sinh kh_0} = \frac{\alpha g}{2} \left( \frac{D_{50}}{L_0} \right)^n \quad \dots \dots \dots (24)$$

となる。次に  $h_0$  に相当するシールズ数を  $\Psi_{mc}^*$  とすると式 (24) を式 (12) に代入することにより、

$$\Psi_{mc}^* = \frac{\pi \alpha^2}{4} \frac{f_w}{(s-1)} \left( \frac{D_{50}}{L_0} \right)^{2n-1} \quad \dots \dots \dots (25)$$

と求まる。大型造波水路の実験では佐藤・田中<sup>11)</sup>の集団移動限界式が最もよく適合し、その係数 ( $\alpha=1.35$ ,  $h=1/3$ ,  $s=2.65$ ) を上式に代入すると、

$$\Psi_{mc}^* = 0.87 f_w \left( \frac{D_{50}}{L_0} \right)^{-1/3} \quad \dots \dots \dots (26)$$

となる。

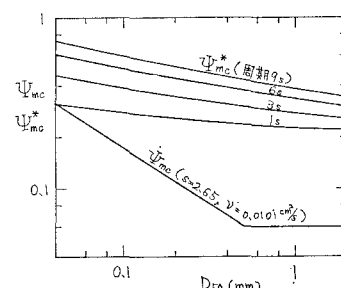
さらに、 $f_w$  として Swart<sup>12)</sup> が提案した近似式

$$f_w = \exp \left\{ -5.977 + 5.213 \left( \frac{a_m}{k_s} \right)^{-0.194} \right\} \quad \dots \dots \dots (27)$$

の相当粗度  $k_s$  を中央粒径で代表させて用いると、式 (26) は次式のようになる。ただし、上式中の  $a_m$  は底面水粒子軌道半径である。

$$\Psi_{mc}^* = 0.87 \left( \frac{D_{50}}{L_0} \right)^{-1/3} \exp \left\{ -5.977 + 5.626 \left( \frac{D_{50}}{L_0} \right)^{0.129} \right\} \quad \dots \dots \dots (28)$$

$s=2.65$ ,  $\nu=0.0101 \text{ cm}^2/\text{s}$  として  $\Psi_{mc}$  と  $\Psi_{mc}^*$  を比較してみると、図-3 のように、一般には  $\Psi_{mc}^*$  が  $\Psi_{mc}$  よりもかなり大きくなる。また、大型造波水路の実験例で試行計算を行ってみると、侵食型の地形変化では  $\Psi_{mc}^*$  を採用した方が良好な結果を得られた。しかし、堆積型の地形変化では  $\Psi_{mc}=0$  とした方が良好であった。堆積型と侵食型の地形変化では、浮遊砂と掃流砂の寄与率が異なり、結果として限界シールズ数が異なることはある程度

図-3 限界シールズ数  $\Psi_{mc}$  と  $\Psi_{mc}^*$  の比較

予想されることではある。しかし、それらを統一的に与える方法については今後の課題である。

## 6. 適用性の検討

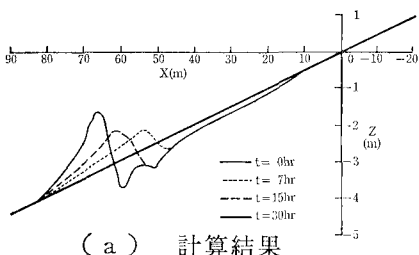
以上述べてきた計算法について大型造波水路実験における CASE 3-4 と CASE 3-3<sup>4)</sup> を対象としてその適用性を検討した。両ケースとも砂の中央粒径は 0.27 mm、初期斜面勾配は 1/20 で、CASE 3-4 は沖波波高 1.62 mm、周期 3.1 s で侵食変形を生じたケース、CASE 3-3 は沖波波高 0.65 m、周期 12 s で堆積変形を生じたケースである。

### 6.1 地形変化の再現性

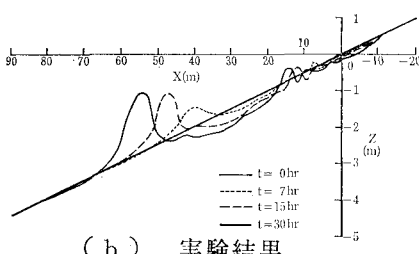
地形変化の計算結果を実験結果と比較して 図-4 と 図-5 に示した。ただし、バーの位置を比較し易いよう 図では初期斜面の静水時汀線を原点とする沖向座標  $X$  について結果を作図してある。両ケースとも、積分時間間隔  $\Delta t^*$  は地形測定が行われている時間に合わせて、 $\Delta t^*=7, 8, 15, 30 \text{ hr}$  として計算した。図より、侵食型地形変化におけるバーの発達と移動、堆積型地形変化におけるステップとバームの発達が再現されているのがわかる。

### 6.2 積分時間間隔

図-4 と 図-5 では積分時間間隔  $\Delta t^*$  を実験値に合わせて選んだが、 $\Delta t^*$  と地形計算結果との関係についても検討を行った。図-6 はその結果で、 $\Delta t^*$  を 8, 4, 2, 1 hr と減少させていった。 $\Delta t^*$  が小さくなると、バー周辺の地形変化に乱れが生じる。この原因が連続式(17)を計算する際の不安定性に帰因するものかどうかを確認するため、差分法を up wind スキーム（風上差分法）に変更し再計算を試みた。その結果は中央差分を用いた 図-6 とはほとんど変わらず、地形変化の乱れの原因が差分法の間

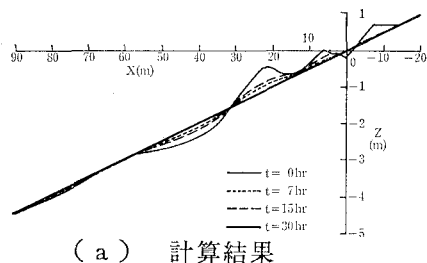


(a) 計算結果

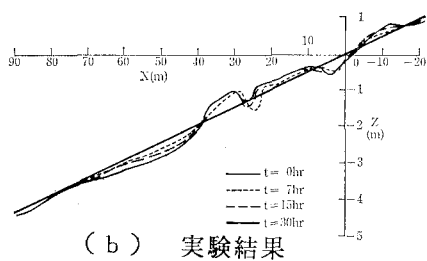


(b) 実験結果

図-4 侵食型地形変化の再現計算 (CASE 3-4)



(a) 計算結果



(b) 実験結果

図-5 堆積型地形変化の再現計算 (CASE 3-3)

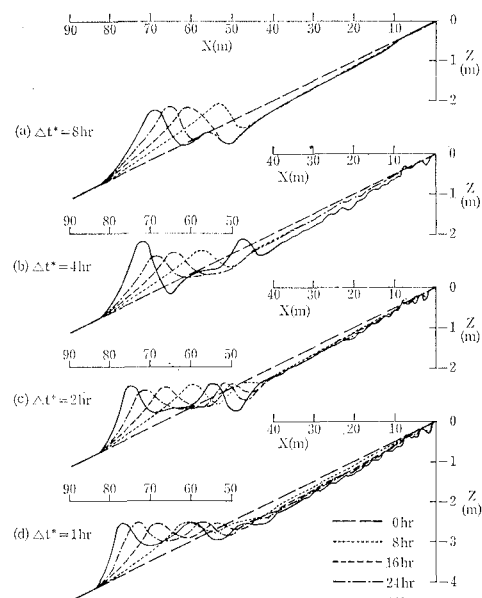
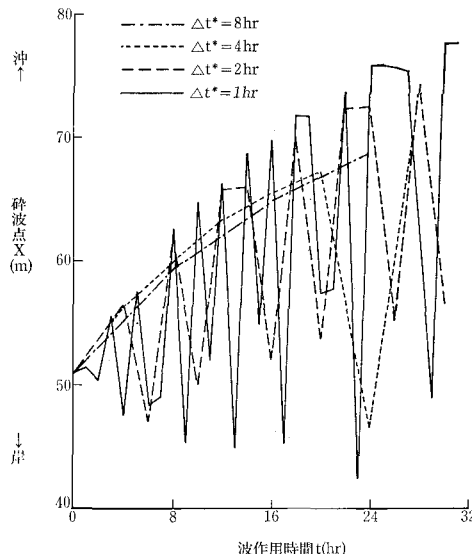


図-6 積分時間間隔  $\Delta t^*$  と地形変化の関係

題ではないことがわかった。

そこで、計算過程をより詳しく見直すと、図-7 のように  $\Delta t^*$  が小さくなるに従って計算上の碎波点位置が変動することがわかった。これはバー周辺の地形を正しく再現できないことが原因で、図-4 を見ると計算結果では実験結果よりも約 10 m 沖側にバーが発生している。 $\Delta t^*$  を小さくすると、その間のバーの発達が不十分で、しかもその位置が沖へずれるためにバー沖側に存在するはずの碎波点位置を正しく検出することが困難になる。

原理的には  $\Delta t^*$  を小さくするほど地形変化の再現性は

図-7 積分時間間隔  $\Delta t^*$  と碎波点変動の関係

向上するはずであるが、そのためには今後上述の問題を解決していく必要がある。

## 7. 結 語

今回の岸沖海浜変形予測モデルによってマクロ的な岸沖地形変化を再現することができた。また、その中で、限界シールズ数の統一、バー周辺地形の計算精度向上などの問題点も明らかとなった。今後は、砂移動の向きの推定法も合わせて研究を重ねていきたい。

## 参 考 文 献

- 1) 中村 宏・鹿島遼一・齊藤昭三・丸山康樹・清水隆夫: 海浜変形実験用大型造波水路の建設と計測システム, 第28回海岸工学講演会論文集, pp. 193~196, 1981.
- 2) 鹿島遼一・清水隆夫・丸山康樹・齊藤昭三: 大型造波水路による岸沖漂砂の実験的研究, 第28回海岸工学講演会論文集, pp. 197~201, 1981.
- 3) 鹿島遼一・清水隆夫・丸山康樹・齊藤昭三: 大型造波水路による岸沖漂砂の実験的研究(2)——粗砂海浜( $D_{50}=0.47\text{ mm}$ )の岸沖漂砂のモデル化——, 第29回海岸工学講演会論文集, pp. 228~232, 1982.
- 4) 清水隆夫・齊藤昭三・丸山康樹・長谷川寛・鹿島遼一: 大型造波水路実験による岸沖漂砂量分布形のモデル化, 電力中央研究所研究報告, No. 384028, 60 p., 1985.
- 5) 清水隆夫・齊藤昭三・丸山康樹・長谷川寛・鹿島遼一: 大型造波水路実験による岸沖漂砂量分布のモデル化, 第32回海岸工学講演会論文集, pp. 311~315, 1985.
- 6) 丸山康樹・清水隆夫: 海浜断面の時間変化に対応する波浪変形計算手法, 第33回海岸工学講演会論文集, pp. 110~114, 1986.
- 7) 渡辺 晃・丸山康樹: 屈折・回折・碎波減衰を含む波浪場の数値解析法, 第31回海岸工学講演会論文集, pp. 103~107, 1984.
- 8) 丸山康樹・鹿島遼一: 碎波減衰を考慮した碎波帶内外の波浪場計算法の提案とその適用, 電力中央研究所研究報告, No. 384041, 41 p., 1985.
- 9) 渡辺 晃・原 哲・堀川清司: 重合した波浪場における碎波について, 第30回海岸工学講演会論文集, pp. 5~9, 1983.
- 10) Jonsson, J. G.: Wave boundary layer and friction factors, Proc. 10th Conf. on Coastal Eng., Vol. 1, pp. 127~148, 1966.
- 11) 佐藤清一・田中則男: 水平床における波による砂移動について, 第9回海岸工学講演会講演集, pp. 95~100, 1962.
- 12) Swart, D. H.: Offshore transport and equilibrium profiles, Pub. No. 131, Delt Hydr. Lab., 244 p., 1074.